

### III-30 乾燥砂の強度と変形特性について

北海道大学工学部 正員 ○ 中村耕次  
" " 土岐祥介

#### 1. まえがき

筆者らは数年来、砂の強度と変形特性について、荷重条件および装置を変えて実験を行い考察を加えてきた。本研究では、三軸圧縮試験において乾燥砂に与える静的繰返し載荷の応力レベルを変え、乾燥砂のせん断強度、軸方向ヒズミと横方向ヒズミの関係について検討した。

#### 2. 実験方法

実験に使用した試料は豊浦砂であり、その物理的性質を表-1に示す。

直径75mm、高さ185mmの供試体を作り、負圧をかけ自立させ、ノギスで直径、高さを計り初期剛性比 $E_0$ を求めた。載荷方法は図-1に示すようじて静的繰返し載荷で、繰返し応力レベルは繰返し載荷を行なう試験(以下OE-TESTと呼ぶ)で、あらかじめ求めた最大軸差応力( $\sigma_{\max} - \sigma_0$ )の20%, 40%, 60%, 80%の4種類とした。ヒズミ速度 $\dot{\epsilon} = 0.5\%/\text{min}$ で載荷し、繰返し応力点まで軸差応力が達いたら除荷し、軸差応力が零となるたら再び載荷した。15回目の載荷で破壊に至らされた。以下この繰返し載荷試験をAT-TESTと呼ぶことにする。

横ヒズミの測定は図-2に示すようにピックアップを供試体の上部、中部、下部に貼り

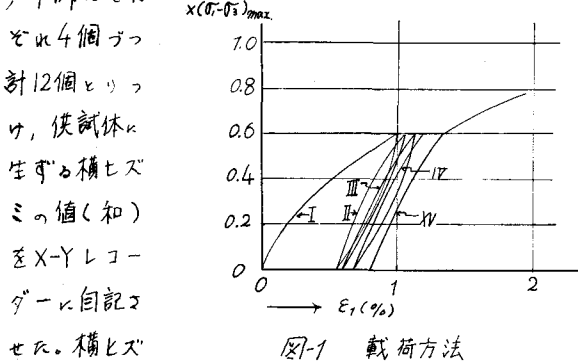


図-1 載荷方法

比重 G	2.65
10%粒径 $D_{10}$	0.18
30%粒径 $D_{30}$	0.21
60%粒径 $D_{60}$	0.21
均等係数 $U_c$	0.19
曲率係数 $U_s$	1.13
$\epsilon_{\max}$	0.95
$\epsilon_{\min}$	0.65
粒形	角ばいでいる

表-1 物理的性質

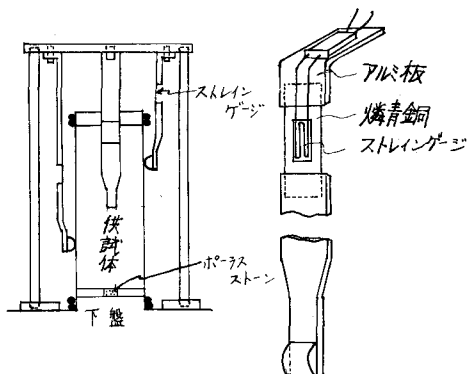


図-2 横上ヒズミ測定用ピックアップ

ピックアップで測定した供試体の横ヒズミ量と、21回X-1回で測定した横ヒズミ量との差異は、供試体が特別不均一な変形をしない限り3%程度であるので、横ヒズミ測定用ピックアップは正確な値を測定したものであるとみなしめた。

#### 3. 実験結果と考察

##### (1) セン断抵抗角

繰返し載荷応力レベル(以下 $\sigma_f$ と略記する。)が、せん断抵抗角 $\psi$ と $\phi$ に影響を及ぼすと図-3のようになる。この場合、密な供試体と緩い供試体との挙動が異り、前者では $\sigma_f = 0.2(\eta - \eta_0)_{max}$ の時に最も $\psi$ が大きく、後者では $\sigma_f$ の増加と共に $\psi$ も増加していく。これは、密な場合は $\sigma_f$ を上げると縦の圧縮効果よりむしろ側面で部分的に破壊が始まり、えらわれるエネルギーの大部分は破壊面に費やされるからであろう。 $\phi$ は初期間ゲキ比 $e_0$ が9%の影響をうけるが、stress-pathにむずかしさから影響をうけることと示している。

## (2) ポアソン比

軸方向ヒズミ( $\epsilon_1$ )に対する横方向ヒズミ( $\epsilon_3$ )の比、即ち $\frac{\epsilon_1}{\epsilon_3}$ をポアソン比 $\nu_f$ とする。DE-TEST時、 $\nu_f$ は Lambe 等と報告しているよう、最初は軸ヒズミ $\epsilon_1$ 増加と共に $\nu_f$ も増加し破壊状態近くまで一定となる。この破壊時のポアソン比 $\nu_f$ は、試験条件、破壊状態によって異なるが、0.5~0.8 の範囲である。図-4に破壊状態のタイプを示す。A型の破壊においては、横ヒズミ測定用ピックアップは妥当に横ヒズミ量を示すが、B型の破壊ではピックアップが測定された横ヒズミ量は、A型にくらべて大きく、破壊時には正確な値を示していないと思われる。C型の破壊すると横ヒズミ量は小さい。D型の破壊では、供試体上部の横ヒズミが局部的に大きくなるので、今回使用したピックアップは妥当とは言えない。図-5は $\nu_f$ に対する $\eta_f$ をプロットしたものである。破壊状態を考慮してないのでは $\nu_f$ はヨリしくて $\nu_f$ は言えないが、 $\eta_f$ が大きくなると $\nu_f$ は小さくなる傾向がある。密な供試体は緩い供試体に較べ一般に $\nu_f$ は大きく、着しい体積膨張が起っていることを示している。

繰返し載荷時のポアソン比 $\nu_f$ をみると、第1サイクルの $\nu_f$ は第2サイクル以後の $\nu_f$ と較べ別な挙動を示す。すなわち、それは応力-ヒズミ曲線に対応しており、供試体が弾性的挙動を示す範囲では、 $\nu_f$ の増加につれて $\nu_f$ は大きくなり、塑性状態に進行するにつれて $\nu_f$ が変化にゆるやかとなる。

図-6は第15サイクル目の繰返し応力点のポアソン比 $\nu_f$ を $\eta_f$ に対してプロットしたもので、 $\eta_f = 0.8(\eta - \eta_0)_{max}$ のとき $\nu_f$ が増加していくのは、既に測定した点の $\nu_f$ が正のダイレクタンシーが発生はじめた軸ヒズミには一致するからである。

4. 結び この実験は、北郷放復の御指導のもと本学昭和44年度卒業研究として、小野屋利行、平田謙志両君が行なつてある。記して謝意を表す所である。

- 参考文献； 1) 池浦、土岐他、砂のせん断特性に関する実験、技術報告資料、No.10, 1970, 2  
2) T. William Lambe and Robert V. Whitman, Soil Mechanics, 1969

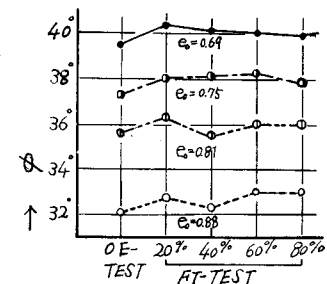


図-3  $\phi$ と載荷方法

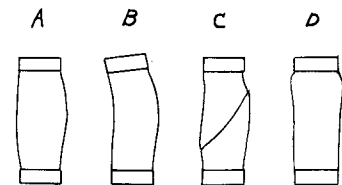


図-4 破壊タイプ

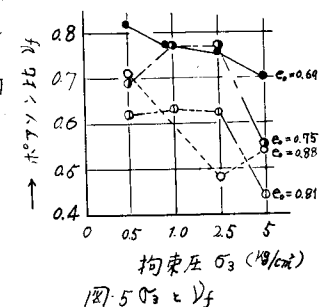


図-5  $\eta_f$ と $\nu_f$

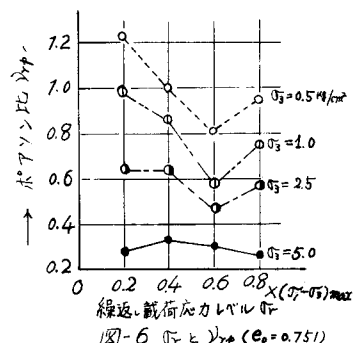


図-6  $\eta_f$ と $\psi$  ( $e_0=0.75$ )